

Os números (coeficientes) de Littlewood-Richardson e simetrias

Olga Azenhas

CMUC, Universidade de Coimbra

1. Os coeficientes de Littlewood-Richardson $c_{\mu \nu}^{\lambda}$

- As funções de Schur constituem uma base (linear) para a álgebra das funções simétricas

1. Os coeficientes de Littlewood-Richardson $c_{\mu \nu}^{\lambda}$

- As funções de Schur constituem uma base (linear) para a álgebra das funções simétricas

► $x = (x_1, x_2, \dots)$, $n \in \mathbb{N}$,
função simétrica homogénea de grau n sobre \mathbb{Q}

$$f(x) = \sum_{\alpha} c_{\alpha} x^{\alpha},$$

- ★ $\alpha = (\alpha_1, \alpha_2, \dots)$ é uma partição de n ,
- ★ $x^{\alpha} = x_1^{\alpha_1} x_2^{\alpha_2} \dots$,
- ★ $c_{\alpha} \in \mathbb{Q}$

1. Os coeficientes de Littlewood-Richardson $c_{\mu \nu}^{\lambda}$

- As funções de Schur constituem uma base (linear) para a álgebra das funções simétricas

- $x = (x_1, x_2, \dots)$, $n \in \mathbb{N}$,
função simétrica homogénea de grau n sobre \mathbb{Q}

$$f(x) = \sum_{\alpha} c_{\alpha} x^{\alpha},$$

- \star $\alpha = (\alpha_1, \alpha_2, \dots)$ é uma partição de n ,
- \star $x^{\alpha} = x_1^{\alpha_1} x_2^{\alpha_2} \dots$,
- \star $c_{\alpha} \in \mathbb{Q}$

- s_{μ} função de Schur associada à partição μ

$$s_{\mu} s_{\nu} = \sum_{\lambda} c_{\mu \nu}^{\lambda} s_{\lambda}.$$

- Decomposição do produto tensorial de duas representações polinomiais irreduutíveis V^μ e V^ν do grupo linear geral $GL_d(\mathbb{C})$ em representações irreduutíveis do $GL_d(\mathbb{C})$

$$V^\mu \otimes V^\nu = \sum_{I(\lambda) \leq d} c_{\mu \nu}^\lambda V^\lambda.$$

- Decomposição do produto tensorial de duas representações polinomiais irreduutíveis V^μ e V^ν do grupo linear geral $GL_d(\mathbb{C})$ em representações irreduutíveis do $GL_d(\mathbb{C})$

$$V^\mu \otimes V^\nu = \sum_{I(\lambda) \leq d} c_{\mu \nu}^\lambda V^\lambda.$$

- As classes de Schubert σ_λ formam uma base linear para $H^*(G(d, n))$, o anel de cohomologia do Grassmanniano $G(d, n)$ dos subespaços lineares de dimensão d de \mathbb{C}^n ,

$$\sigma_\mu \sigma_\nu = \sum_{\lambda \subseteq d \times (n-d)} c_{\mu \nu}^\lambda \sigma_\lambda.$$

- Decomposição do produto tensorial de duas representações polinomiais irreduutíveis V^μ e V^ν do grupo linear geral $GL_d(\mathbb{C})$ em representações irreduutíveis do $GL_d(\mathbb{C})$

$$V^\mu \otimes V^\nu = \sum_{I(\lambda) \leq d} c_{\mu \nu}^\lambda V^\lambda.$$

- As classes de Schubert σ_λ formam uma base linear para $H^*(G(d, n))$, o anel de cohomologia do Grassmanniano $G(d, n)$ dos subespaços lineares de dimensão d de \mathbb{C}^n ,

$$\sigma_\mu \sigma_\nu = \sum_{\lambda \subseteq d \times (n-d)} c_{\mu \nu}^\lambda \sigma_\lambda.$$

- Existem matrizes $n \times n$ não singulares A , B e C , sobre um *domínio local de ideais principais*, com invariantes de Smith $\mu = (\mu_1, \dots, \mu_n)$, $\nu = (\nu_1, \dots, \nu_n)$ and $\lambda = (\lambda_1, \dots, \lambda_n)$ respectivamente, tal que $AB = C$ se e só se $c_{\mu \nu}^\lambda > 0$.

- Decomposição do produto tensorial de duas representações polinomiais irreduutíveis V^μ e V^ν do grupo linear geral $GL_d(\mathbb{C})$ em representações irreduutíveis do $GL_d(\mathbb{C})$

$$V^\mu \otimes V^\nu = \sum_{I(\lambda) \leq d} c_{\mu \nu}^\lambda V^\lambda.$$

- As classes de Schubert σ_λ formam uma base linear para $H^*(G(d, n))$, o anel de cohomologia do Grassmanniano $G(d, n)$ dos subespaços lineares de dimensão d de \mathbb{C}^n ,

$$\sigma_\mu \sigma_\nu = \sum_{\lambda \subseteq d \times (n-d)} c_{\mu \nu}^\lambda \sigma_\lambda.$$

- Existem matrizes $n \times n$ não singulares A , B e C , sobre um *domínio local de ideais principais*, com invariantes de Smith $\mu = (\mu_1, \dots, \mu_n)$, $\nu = (\nu_1, \dots, \nu_n)$ and $\lambda = (\lambda_1, \dots, \lambda_n)$ respectivamente, tal que $AB = C$ se e só se $c_{\mu \nu}^\lambda > 0$.
- Existem matrizes $n \times n$ Hermíticas A , B e C , com valores próprios inteiros ordenados por ordem não crescente $\mu = (\mu_1, \dots, \mu_n)$, $\nu = (\nu_1, \dots, \nu_n)$ e $\lambda = (\lambda_1, \dots, \lambda_n)$ respectivamente, tal que $C = A + B$ se e só se $c_{\mu, \nu}^\lambda > 0$.

Porque é que os combinatorialistas se interessam pelos coeficientes $c_{\mu \nu}^{\lambda}$?

- $c_{\mu \nu}^{\lambda} \geq 0$.

Porque é que os combinatorialistas se interessam pelos coeficientes $c_{\mu \nu}^{\lambda}$?

- $c_{\mu \nu}^{\lambda} \geq 0$.
- As simetrias de $c_{\mu \nu}^{\lambda}$ com respeito a μ , ν e λ são importantes em muitos problemas com os quais estes coeficientes estão relacionados.

Porque é que os combinatorialistas se interessam pelos coeficientes $c_{\mu \nu}^{\lambda}$?

- $c_{\mu \nu}^{\lambda} \geq 0$.
- As simetrias de $c_{\mu \nu}^{\lambda}$ com respeito a μ , ν e λ são importantes em muitos problemas com os quais estes coeficientes estão relacionados.

Porque é que os combinatorialistas se interessam pelos coeficientes $c_{\mu \nu}^{\lambda}$?

- $c_{\mu \nu}^{\lambda} \geq 0$.
- As simetrias de $c_{\mu \nu}^{\lambda}$, com respeito a μ , ν e λ são importantes em muitos problemas com os quais estes coeficientes estão relacionados.
 - ▶ Que objectos interessantes é que estes coeficientes enumeram?

Porque é que os combinatorialistas se interessam pelos coeficientes $c_{\mu \nu}^{\lambda}$?

- $c_{\mu \nu}^{\lambda} \geq 0$.
- As simetrias de $c_{\mu \nu}^{\lambda}$, com respeito a μ , ν e λ são importantes em muitos problemas com os quais estes coeficientes estão relacionados.
 - ▶ Que objectos interessantes é que estes coeficientes enumeram?
 - ★ certos tableaux de Young

Porque é que os combinatorialistas se interessam pelos coeficientes $c_{\mu \nu}^{\lambda}$?

- $c_{\mu \nu}^{\lambda} \geq 0$.
- As simetrias de $c_{\mu \nu}^{\lambda}$, com respeito a μ , ν e λ são importantes em muitos problemas com os quais estes coeficientes estão relacionados.
 - ▶ Que objectos interessantes é que estes coeficientes enumeram?
 - ★ certos tableaux de Young
 - ★ Puzzles de Knutson-Tao-Woodward

Porque é que os combinatorialistas se interessam pelos coeficientes $c_{\mu \nu}^{\lambda}$?

- $c_{\mu \nu}^{\lambda} \geq 0$.
- As simetrias de $c_{\mu \nu}^{\lambda}$, com respeito a μ , ν e λ são importantes em muitos problemas com os quais estes coeficientes estão relacionados.
 - ▶ Que objectos interessantes é que estes coeficientes enumeram?
 - ★ certos tableaux de Young
 - ★ Puzzles de Knutson-Tao-Woodward
 - ★ Mosaicos de Purbhoo

Porque é que os combinatorialistas se interessam pelos coeficientes $c_{\mu \nu}^{\lambda}$?

- $c_{\mu \nu}^{\lambda} \geq 0$.
- As simetrias de $c_{\mu \nu}^{\lambda}$, com respeito a μ , ν e λ são importantes em muitos problemas com os quais estes coeficientes estão relacionados.
 - ▶ Que objectos interessantes é que estes coeficientes enumeram?
 - ★ certos tableaux de Young
 - ★ Puzzles de Knutson-Tao-Woodward
 - ★ Mosaicos de Purbhoo
 - ★ ...

2- A regra de Littlewood-Richardson (D. E. Littlewood, A. R. Richardson (1934))

- Correspondência de Robinson-Schensted-Knuth

Example

$n = 8$

$$\nu = (3, 3, 2) \equiv$$

2- A regra de Littlewood-Richardson (D. E. Littlewood, A. R. Richardson (1934))

- Correspondência de Robinson-Schensted-Knuth

Example

$n = 8$

$$\nu = (3, 3, 2) \equiv \begin{array}{|c|c|c|} \hline & & \\ \hline \end{array}$$

2- A regra de Littlewood-Richardson (D. E. Littlewood, A. R. Richardson (1934))

- Correspondência de Robinson-Schensted-Knuth

Example

$n = 8$

$$\nu = (3, 3, 2) \equiv \begin{array}{|c|c|c|} \hline & & \\ \hline \end{array} \quad P = \begin{array}{|c|c|c|} \hline 5 & 6 & \\ \hline 4 & 4 & 6 \\ \hline 2 & 3 & 4 \\ \hline \end{array}$$

2- A regra de Littlewood-Richardson (D. E. Littlewood, A. R. Richardson (1934))

- Correspondência de Robinson-Schensted-Knuth

Example

$n = 8$

$$\nu = (3, 3, 2) \equiv \begin{array}{|c|c|c|} \hline & & \\ \hline \end{array}$$

$$P = \begin{array}{|c|c|c|} \hline 5 & 6 & \\ \hline 4 & 4 & 6 \\ \hline 2 & 3 & 4 \\ \hline \end{array}$$

$$Q = \begin{array}{|c|c|c|} \hline 6 & 8 & \\ \hline 2 & 4 & 7 \\ \hline 1 & 3 & 5 \\ \hline \end{array}$$

2- A regra de Littlewood-Richardson (D. E. Littlewood, A. R. Richardson (1934))

- Correspondência de Robinson-Schensted-Knuth

Example

$n = 8$

$$\nu = (3, 3, 2) \equiv \begin{array}{|c|c|c|} \hline & & \\ \hline \end{array}$$

$$P = \begin{array}{|c|c|c|} \hline 5 & 6 & \\ \hline 4 & 4 & 6 \\ \hline 2 & 3 & 4 \\ \hline \end{array}$$

$$Q = \begin{array}{|c|c|c|} \hline 6 & 8 & \\ \hline 2 & 4 & 7 \\ \hline 1 & 3 & 5 \\ \hline \end{array}$$

$$w(P) = 56446234, \quad P \in Tab(\nu), \quad Q \in ST(\nu).$$

2- A regra de Littlewood-Richardson (D. E. Littlewood, A. R. Richardson (1934))

- Correspondência de Robinson-Schensted-Knuth

Example

$n = 8$

$$\nu = (3, 3, 2) \equiv \begin{array}{|c|c|c|} \hline & & \\ \hline & & \\ \hline & & \\ \hline & & \\ \hline \end{array} \quad P = \begin{array}{|c|c|c|} \hline 5 & 6 & \\ \hline 4 & 4 & 6 \\ \hline 2 & 3 & 4 \\ \hline \end{array} \quad Q = \begin{array}{|c|c|c|} \hline 6 & 8 & \\ \hline 2 & 4 & 7 \\ \hline 1 & 3 & 5 \\ \hline \end{array}$$

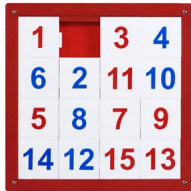
$$w(P) = 56446234, \quad P \in Tab(\nu), \quad Q \in ST(\nu).$$

- X alfabeto totalmente ordenado, $n \in \mathbb{N}$

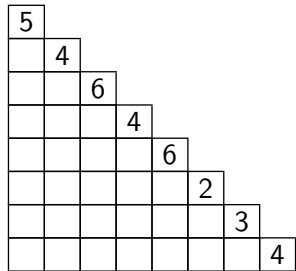
$$\begin{aligned} F : \quad X^n &\longrightarrow \bigsqcup_{\nu \vdash n} Tab_X(\nu) \times ST(\nu) \\ w &\longrightarrow (P(w), Q(w)) \end{aligned}$$

Jeu de taquin

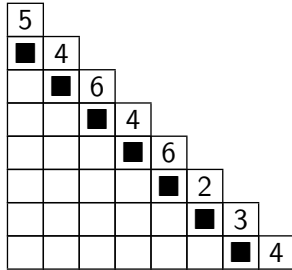
- construção devida a Marcel-Paul Schützenberger inspirada no *puzzle 15 (le taquin)* (1976).



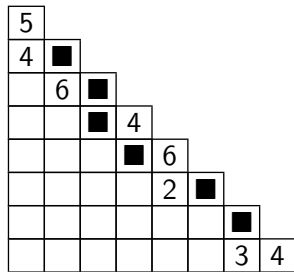
$$w = 54646234 \longrightarrow P(w)$$



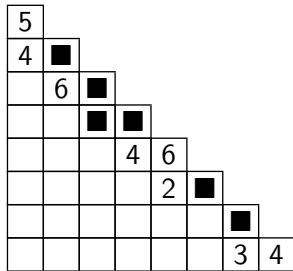
$$w = 54646234 \rightarrow P(w)$$



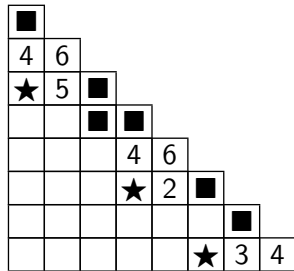
$$w = 54646234 \longrightarrow P(w)$$



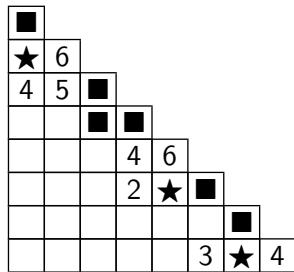
$$w = 54646234 \rightarrow P(w)$$



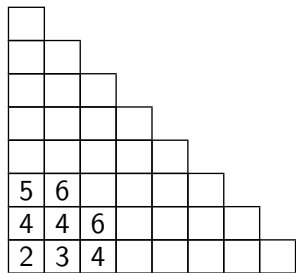
$$w = 54646234 \longrightarrow P(w)$$



$$w = 54646234 \longrightarrow P(w)$$

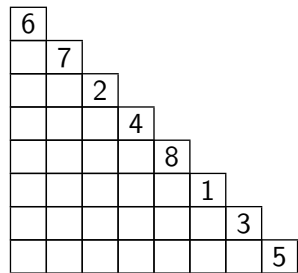


$$w = 54646234 \longrightarrow P(w)$$



$$w = 54646234 \longrightarrow P(w) = \begin{array}{|c|c|c|} \hline 5 & 6 & \\ \hline 4 & 4 & 6 \\ \hline 2 & 3 & 4 \\ \hline \end{array}$$

$$w = 54646234 \rightarrow (P, Q(w))$$



$$w = 54646234 \longrightarrow (P(w) = \begin{array}{|c|c|c|}\hline 5 & 6 & \\ \hline 4 & 4 & 6 \\ \hline 2 & 3 & 4 \\ \hline \end{array}, Q(w) = \begin{array}{|c|c|c|}\hline 6 & 7 & \\ \hline 2 & 4 & 8 \\ \hline 1 & 3 & 5 \\ \hline \end{array})$$

- (Hillman, Grassl 1980; White 1981) Seja κ um diagrama enviezado



Identificamos $Tab_X(\kappa)$ com o subconjunto de X^n das palavras no alfabeto X obtidas lendo os conteúdos de todos os tableaux $\in Tab_X(\kappa)$

$$F|_{Tab_X(\kappa)} : Tab_X(\kappa) \longrightarrow \bigsqcup_{\nu \vdash n} Tab_X(\nu) \times Q_\nu(\kappa), \quad Q_\nu(\kappa) \subseteq ST(\nu)$$

- (Hillman, Grassl 1980; White 1981) Seja κ um diagrama enviezado



Identificamos $Tab_X(\kappa)$ com o subconjunto de X^n das palavras no alfabeto X obtidas lendo os conteúdos de todos os tableaux $\in Tab_X(\kappa)$

$$F|_{Tab_X(\kappa)} : Tab_X(\kappa) \longrightarrow \bigsqcup_{\nu \vdash n} Tab_X(\nu) \times Q_\nu(\kappa), \quad Q_\nu(\kappa) \subseteq ST(\nu)$$

-

2	3	3	
1	2	2	
	1	1	1

$$\equiv w = 23312221111 \rightarrow (P = \begin{smallmatrix} 3 \\ 2 & 2 & 2 \\ 1 & 1 & 1 & 1 & 1 \end{smallmatrix}, Q)$$

- (Hillman, Grassl 1980; White 1981) Seja κ um diagrama enviezado



Identificamos $Tab_X(\kappa)$ com o subconjunto de X^n das palavras no alfabeto X obtidas lendo os conteúdos de todos os tableaux $\in Tab_X(\kappa)$

$$F|_{Tab_X(\kappa)} : Tab_X(\kappa) \longrightarrow \bigsqcup_{\nu \vdash n} Tab_X(\nu) \times Q_\nu(\kappa), \quad Q_\nu(\kappa) \subseteq ST(\nu)$$

-

$$\begin{array}{c} \begin{array}{|c|c|c|} \hline 2 & 3 & 3 \\ \hline 1 & 2 & 2 \\ \hline \end{array} \\ \begin{array}{|c|c|c|c|} \hline & & 1 & 1 \\ \hline & & 1 & 1 \\ \hline \end{array} \end{array} \equiv w = 23312221111 \rightarrow (P = \begin{array}{c} \begin{array}{|c|} \hline 3 \\ \hline 2 \\ \hline 2 \\ \hline 2 \\ \hline \end{array} \\ \begin{array}{|c|c|c|} \hline 1 & 1 & 1 \\ \hline 1 & 1 & 1 \\ \hline \end{array} \end{array}, Q)$$

$$\begin{array}{c} \begin{array}{|c|c|c|} \hline 1 & 3 & 3 \\ \hline 2 & 2 & 2 \\ \hline \end{array} \\ \begin{array}{|c|c|c|c|} \hline & & 1 & 1 \\ \hline & & 1 & 1 \\ \hline \end{array} \end{array} \equiv w = 13322221111 \rightarrow (P = \begin{array}{c} \begin{array}{|c|} \hline 3 \\ \hline 2 \\ \hline 2 \\ \hline 2 \\ \hline \end{array} \\ \begin{array}{|c|c|c|} \hline 1 & 1 & 1 \\ \hline 1 & 1 & 1 \\ \hline \end{array} \end{array}, Q')$$

$$|Tab^0(\kappa, \nu)| = |Q_\nu(\kappa)|.$$

A regra de Littlewood-Richardson

• (Kerov, 1984) $\kappa = \begin{array}{c} \square \quad \square \\ \square \quad \square \end{array}$, $T = \begin{array}{ccccc} 1 & 4 & & & \\ 2 & & 3 & 3 & \\ & 1 & 2 & 2 & \end{array}$, $m_T = x_1^2 x_2^3 x_3^2 x_4 \dots$

$$s_\kappa = \sum_{T \in Tab(\kappa)} m_T$$

A regra de Littlewood-Richardson

- (Kerov, 1984) $\kappa = \begin{array}{c} \square \quad \square \\ \times \quad \square \end{array} \quad \begin{array}{c} \square \quad \square \quad \square \\ \times \quad \square \quad \square \\ \times \quad \square \quad \square \end{array}, \quad T = \begin{array}{c} 1 \quad 4 \\ 2 \quad 3 \quad 3 \\ 1 \quad 2 \quad 2 \end{array}, \quad m_T = x_1^2 x_2^3 x_3^2 x_4 \dots$

$$s_\kappa = \sum_{T \in Tab(\kappa)} m_T$$

-

$$s_\nu = \sum_{T \in Tab(\nu)} m_T$$

A regra de Littlewood-Richardson

- (Kerov, 1984) $\kappa = \begin{array}{c} \square \quad \square \\ \square \quad \square \end{array}$, $T = \begin{array}{ccccc} 1 & 4 & & & \\ 2 & 3 & 3 & & \\ 1 & 2 & 2 & & \end{array}$, $m_T = x_1^2 x_2^3 x_3^2 x_4 \dots$

$$s_\kappa = \sum_{T \in Tab(\kappa)} m_T$$



$$s_\nu = \sum_{T \in Tab(\nu)} m_T$$



$$s_\kappa = \sum_{T \in Tab(\kappa)} m_T = \sum_\nu |Q_\nu(\kappa)| \sum_{P \in Tab(\nu)} m_P = \sum_\nu |Q_\nu(\kappa)| s_\nu$$

A regra de Littlewood-Richardson

- (Kerov, 1984) $\kappa = \begin{array}{c} \square \quad \square \\ \square \quad \square \end{array}$, $T = \begin{array}{ccccc} 1 & 4 & & & \\ 2 & 3 & 3 & & \\ & 1 & 2 & 2 & \end{array}$, $m_T = x_1^2 x_2^3 x_3^2 x_4 \dots$

$$s_\kappa = \sum_{T \in Tab(\kappa)} m_T$$



$$s_\nu = \sum_{T \in Tab(\nu)} m_T$$



$$s_\kappa = \sum_{T \in Tab(\kappa)} m_T = \sum_\nu |Q_\nu(\kappa)| \sum_{P \in Tab(\nu)} m_P = \sum_\nu |Q_\nu(\kappa)| s_\nu$$

- $\kappa = \lambda/\mu$, $c_{\mu,\nu}^\lambda := |Q_\nu(\kappa)| = |Tab^0(\lambda/\mu; \nu)|$

$$s_{\lambda/\mu} = \sum_\nu c_{\mu,\nu}^\lambda s_\nu$$

Littlewood-Richardson tableaux

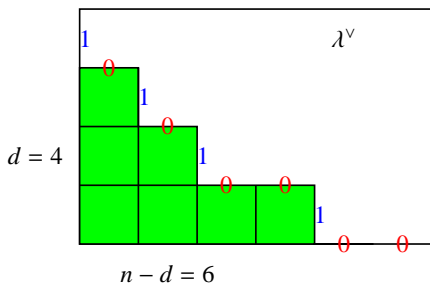
2	3	3			
μ	1	2	2	λ	
	1	1	1	1	1

$$\nu = (5, 3, 2)$$

3-Puzzle de Knutson-Tao-Woodward

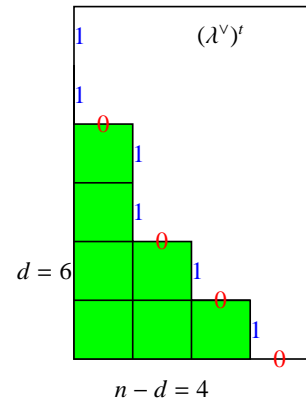
- Partições e sequências binárias

$$n = 10$$



$$\lambda = (4, 2, 1, 0) \leftrightarrow 0010010101$$

$$\lambda^\vee = (6, 5, 4, 2) \leftrightarrow 1010100100$$

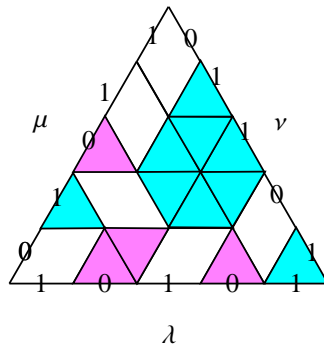
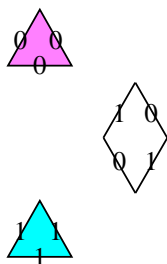


$$\lambda^t = (3, 2, 1, 1, 0, 0) \quad 0101011011$$

$$(\lambda^\vee)^t = (4, 4, 3, 3, 2, 1) \quad 1101101010$$

A regra do puzzle de Knutson-Tao-Woodward

- Um puzzle KTW de tamanho n é uma pavimentação dum triângulo de lado n com peças de lado 1 de três tipos tal que sempre que duas peças partilham uma aresta, as etiquetas (cores) das arestas são concordantes.
- As peças do puzzle podem ser rodadas em qualquer orientação *mas não reflectidas*.
- (Knutson-Tao-Woodward, 2004) $c_{\mu \nu \lambda}$ é o número de puzzles com μ , ν e λ no sentido dos ponteiros do relógio como 01-sequências na fronteira.



4. As $\mathbb{Z}_2 \times \mathbb{S}_3$ -simetrias dos coeficientes de Littlewood-Richardson

- (Benkart-Sottile-Stroomer, 96) Os coeficientes de Littlewood-Richardson $c_{\mu \nu \lambda}$ são invariantes para a acção do grupo diedral $\mathbb{Z}_2 \times \mathbb{S}_3$:
 - ▶ $\tau \in \mathbb{Z}_2 = \{0, \tau\}$ transpõe simultaneamente μ , ν e λ .
 - ▶ $\mathbb{S}_3 = \langle s_1, s_2 \rangle$ permuta μ , ν . λ .

4. As $\mathbb{Z}_2 \times \mathbb{S}_3$ -simetrias dos coeficientes de Littlewood-Richardson

- (Benkart-Sottile-Stroomer, 96) Os coeficientes de Littlewood-Richardson $c_{\mu \nu \lambda}$ são invariantes para a acção do grupo diedral $\mathbb{Z}_2 \times \mathbb{S}_3$:
 - ▶ $\tau \in \mathbb{Z}_2 = \{0, \tau\}$ transpõe simultaneamente μ , ν e λ .
 - ▶ $\mathbb{S}_3 = \langle s_1, s_2 \rangle$ permuta μ , ν , λ .

• \mathbb{S}_3 -simetrias

$$c_{\mu \nu \lambda} = c_{\lambda \mu \nu} = c_{\nu \lambda \mu}$$

$$c_{\mu \nu \lambda} = c_{\nu \mu \lambda}$$

$$c_{\mu \nu \lambda} = c_{\mu \lambda \nu}$$

$$c_{\mu \nu \lambda} = c_{\lambda \nu \mu}$$

4. As $\mathbb{Z}_2 \times \mathbb{S}_3$ -simetrias dos coeficientes de Littlewood-Richardson

- (Benkart-Sottile-Stroomer, 96) Os coeficientes de Littlewood-Richardson $c_{\mu \nu \lambda}$ são invariantes para a acção do grupo diedral $\mathbb{Z}_2 \times \mathbb{S}_3$:
 - ▶ $\tau \in \mathbb{Z}_2 = \{0, \tau\}$ transpõe simultaneamente μ , ν e λ .
 - ▶ $\mathbb{S}_3 = \langle s_1, s_2 \rangle$ permuta μ , ν , λ .

• \mathbb{S}_3 -simetrias

$$c_{\mu \nu \lambda} = c_{\lambda \mu \nu} = c_{\nu \lambda \mu}$$

$$c_{\mu \nu \lambda} = c_{\nu \mu \lambda}$$

$$c_{\mu \nu \lambda} = c_{\mu \lambda \nu}$$

$$c_{\mu \nu \lambda} = c_{\lambda \nu \mu}$$

• $\mathbb{Z}_2 \times \mathbb{S}_3$ -simetrias

$$c_{\mu \nu \lambda} = c_{\lambda \mu \nu} = c_{\nu \lambda \mu}$$

$$c_{\mu \nu \lambda} = c_{\nu^t \mu^t \lambda^t}$$

$$c_{\mu \nu \lambda} = c_{\lambda^t \nu^t \mu^t}$$

$$c_{\mu \nu \lambda} = c_{\mu^t \lambda^t \nu^t}$$

4. As $\mathbb{Z}_2 \times \mathbb{S}_3$ -simetrias dos coeficientes de Littlewood-Richardson

- (Benkart-Sottile-Stroomer, 96) Os coeficientes de Littlewood-Richardson $c_{\mu \nu \lambda}$ são invariantes para a acção do grupo diedral $\mathbb{Z}_2 \times \mathbb{S}_3$:
 - ▶ $\tau \in \mathbb{Z}_2 = \{0, \tau\}$ transpõe simultaneamente μ , ν e λ .
 - ▶ $\mathbb{S}_3 = \langle s_1, s_2 \rangle$ permuta μ , ν , λ .

• \mathbb{S}_3 -simetrias

$$c_{\mu \nu \lambda} = c_{\lambda \mu \nu} = c_{\nu \lambda \mu}$$

$$c_{\mu \nu \lambda} = c_{\nu \mu \lambda}$$

$$c_{\mu \nu \lambda} = c_{\mu \lambda \nu}$$

$$c_{\mu \nu \lambda} = c_{\lambda \nu \mu}$$

• $\mathbb{Z}_2 \times \mathbb{S}_3$ -simetrias

$$c_{\mu \nu \lambda} = c_{\lambda \mu \nu} = c_{\nu \lambda \mu}$$

$$c_{\mu \nu \lambda} = c_{\nu^t \mu^t \lambda^t}$$

$$c_{\mu \nu \lambda} = c_{\lambda^t \nu^t \mu^t}$$

$$c_{\mu \nu \lambda} = c_{\mu^t \lambda^t \nu^t}$$

$$c_{\mu \nu \lambda} = c_{\nu \mu \lambda}$$

$$c_{\mu \nu \lambda} = c_{\mu^t \nu^t \lambda^t}$$

$$c_{\mu \nu \lambda} = c_{\mu \lambda \nu}$$

$$c_{\mu \nu \lambda} = c_{\lambda^t \mu^t \nu^t}$$

$$c_{\mu \nu \lambda} = c_{\lambda \nu \mu}$$

$$c_{\mu \nu \lambda} = c_{\nu^t \lambda^t \mu^t}$$

5. Um subgrupo de índice 2 das $\mathbb{Z}_2 \times \mathbb{S}_3$ -simetrias fácil de exibir

- $H = \langle \tau s_1, \tau s_2 \rangle = \{1, \tau s_1, \tau s_2 s_1 s_2, \tau s_2, s_1 s_2, s_2 s_1\}$ subgrupo de índice 2 de $\mathbb{Z}_2 \times \mathbb{S}_3$.

5. Um subgrupo de índice 2 das $\mathbb{Z}_2 \times \mathbb{S}_3$ -simetrias fácil de exibir

- $\mathbf{H} = \langle \tau s_1, \tau s_2 \rangle = \{1, \tau s_1, \tau s_2 s_1 s_2, \tau s_2, s_1 s_2, s_2 s_1\}$ subgrupo de índice 2 de $\mathbb{Z}_2 \times \mathbb{S}_3$.
 - ▶ $\mathbf{H}\tau = \mathbf{H}s_1 = \mathbf{H}s_2 = \mathbf{H}s_1 s_2 s_1 = \mathbf{H}\tau s_1 s_2 = \mathbf{H}\tau s_2 s_1$

5. Um subgrupo de índice 2 das $\mathbb{Z}_2 \times \mathbb{S}_3$ -simetrias fácil de exibir

- $\mathbf{H} = \langle \tau s_1, \tau s_2 \rangle = \{1, \tau s_1, \tau s_2 s_1 s_2, \tau s_2, s_1 s_2, s_2 s_1\}$ subgrupo de índice 2 de $\mathbb{Z}_2 \times \mathbb{S}_3$.
 - ▶ $\mathbf{H}\tau = \mathbf{H}s_1 = \mathbf{H}s_2 = \mathbf{H}s_1 s_2 s_1 = \mathbf{H}\tau s_1 s_2 = \mathbf{H}\tau s_2 s_1$
- Ação do grupo \mathbf{H} em LR tableaux
 - ▶ $\blacklozenge \leftrightarrow \tau s_1 s_2 s_1 = \tau s_2 s_1 s_2$

5. Um subgrupo de índice 2 das $\mathbb{Z}_2 \times \mathbb{S}_3$ -simetrias fácil de exibir

- $\mathbf{H} = \langle \tau s_1, \tau s_2 \rangle = \{1, \tau s_1, \tau s_2 s_1 s_2, \tau s_2, s_1 s_2, s_2 s_1\}$ subgrupo de índice 2 de $\mathbb{Z}_2 \times \mathbb{S}_3$.
 - ▶ $\mathbf{H}\tau = \mathbf{H}s_1 = \mathbf{H}s_2 = \mathbf{H}s_1 s_2 s_1 = \mathbf{H}\tau s_1 s_2 = \mathbf{H}\tau s_2 s_1$
- Ação do grupo \mathbf{H} em LR tableaux
 - ▶ ♦ $\leftrightarrow \tau s_1 s_2 s_1 = \tau s_2 s_1 s_2$
 - ▶ ♠ $\leftrightarrow \tau s_1$

5. Um subgrupo de índice 2 das $\mathbb{Z}_2 \times \mathbb{S}_3$ -simetrias fácil de exibir

- $\mathbf{H} = \langle \tau s_1, \tau s_2 \rangle = \{1, \tau s_1, \tau s_2 s_1 s_2, \tau s_2, s_1 s_2, s_2 s_1\}$ subgrupo de índice 2 de $\mathbb{Z}_2 \times \mathbb{S}_3$.
 - ▶ $\mathbf{H}\tau = \mathbf{H}s_1 = \mathbf{H}s_2 = \mathbf{H}s_1 s_2 s_1 = \mathbf{H}\tau s_1 s_2 = \mathbf{H}\tau s_2 s_1$
- Ação do grupo \mathbf{H} em LR tableaux
 - ▶ ♦ $\leftrightarrow \tau s_1 s_2 s_1 = \tau s_2 s_1 s_2$
 - ▶ ♠ $\leftrightarrow \tau s_1$
 - ▶ ♣ $\leftrightarrow \tau s_2$,

5. Um subgrupo de índice 2 das $\mathbb{Z}_2 \times \mathbb{S}_3$ -simetrias fácil de exibir

- $\mathbf{H} = \langle \tau s_1, \tau s_2 \rangle = \{1, \tau s_1, \tau s_2 s_1 s_2, \tau s_2, s_1 s_2, s_2 s_1\}$ subgrupo de índice 2 de $\mathbb{Z}_2 \times \mathbb{S}_3$.
 - ▶ $\mathbf{H}\tau = \mathbf{H}s_1 = \mathbf{H}s_2 = \mathbf{H}s_1 s_2 s_1 = \mathbf{H}\tau s_1 s_2 = \mathbf{H}\tau s_2 s_1$
- Ação do grupo \mathbf{H} em LR tableaux
 - ▶ $\spadesuit \leftrightarrow \tau s_1 s_2 s_1 = \tau s_2 s_1 s_2$
 - ▶ $\clubsuit \leftrightarrow \tau s_1$
 - ▶ $\heartsuit \leftrightarrow \tau s_2,$

Theorem

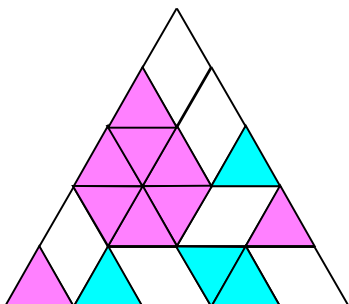
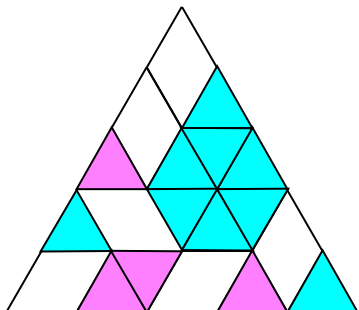
(A., Conflitti, Mamede, 09)

$$\{1, \clubsuit, \spadesuit, \clubsuit\spadesuit, \spadesuit\clubsuit, \clubsuit\spadesuit\clubsuit = \spadesuit\clubsuit\spadesuit = \clubsuit\} = \langle \clubsuit, \spadesuit \rangle \simeq \mathbb{S}_3$$

formam um subgrupo de índice 2, de custo linear, de $\mathbb{Z}_2 \times \mathbb{S}_3$. A comutatividade e a transposição são de custo linearmente redutível entre si.

KTW puzzle reflecções com troca de 0's 1's

- $c_{\mu \nu \lambda} = c_{\nu^t \mu^t \lambda^t}$ ♠
- $c_{\mu \nu \lambda} = c_{\lambda^t \nu^t \mu^t}$ ♦
- $c_{\mu \nu \lambda} = c_{\mu^t \lambda^t \nu^t}$ ♣ = ♠♦♠ = ♦♠♦

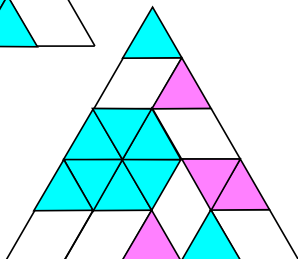
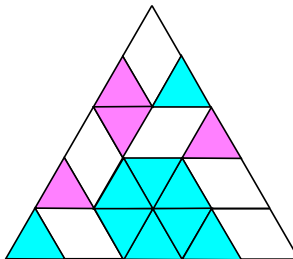
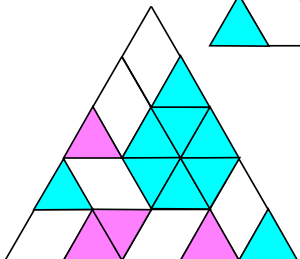


Puzzle $2\pi/3$ -rotações

- $c_{\mu \nu \lambda} = c_{\lambda \mu \nu}$
- $c_{\mu \nu \lambda} = c_{\nu \lambda \mu}$



$$c_{\mu \nu \lambda} = c_{\nu \lambda \mu} = c_{\lambda \mu \nu}$$



Acção do subgrupo \mathbf{H} em KTW-puzzles/LR-tableaux

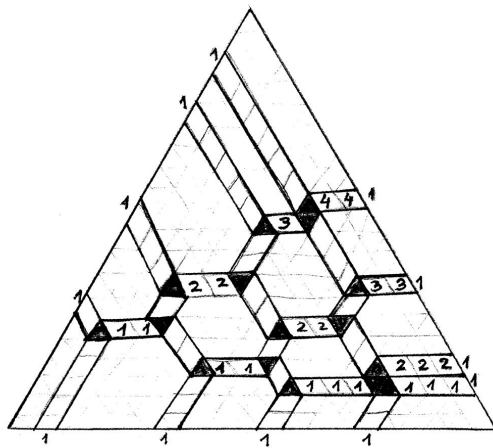


$<$ KTW puzzle reflecções & $0 \leftrightarrow 1$ $>$

\parallel

$$< \spadesuit, \diamond > = \{ \mathbf{1}, \clubsuit, \diamond, \clubsuit \diamond \clubsuit = \diamond \clubsuit \diamond, \clubsuit \diamond, \diamond \clubsuit \} \simeq S_3$$

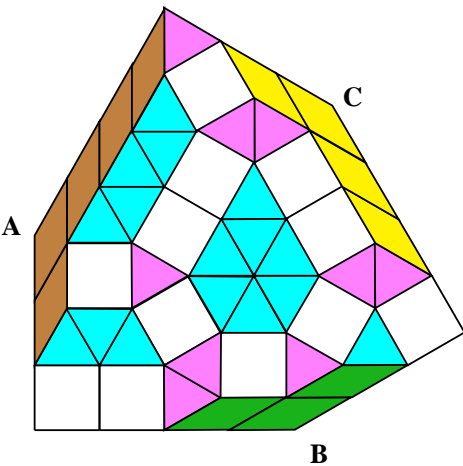
Bijecção de Tao entre KTW puzzles e LR tableaux



1	1	2	2	3	4	4							
		1	1	2	2	3	3						
			1	1	1	2	2	2					
				1	1	1							

Purbhoo mosaicos (2008) estão em bijecção com KTW puzzles

Um *mosaico* é uma pavimentação de um hexágono, com comprimentos de lados e ângulos como abaixo, com triângulos unitários, quadrados unitários, e rombus unitários com ângulos de 30° e 150° estes últimos arrumados nos três cantos de 150° .

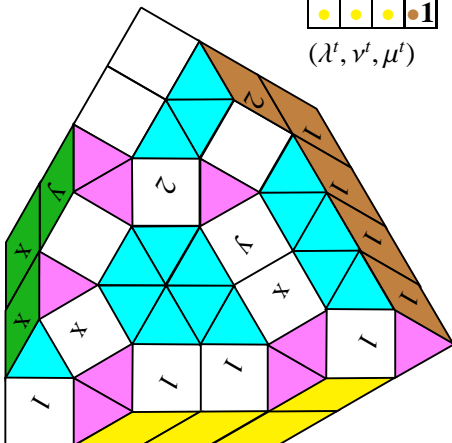


•	x	•	•
•	y	•	•
•	•	x	•
•	•	•	•

(λ, μ, ν)

•	1	2	•	•
•	•	1	1	•
•	•	•	•	1

$(\lambda^t, \nu^t, \mu^t)$



Acção de $\mathbb{Z}_2 \times S_3$ em LR-tableaux/KTW-puzzles

Theorem

(A., Conflitti, Mamede, 09)

$$\mathbb{Z}_2 \times S_3 = < \clubsuit, \diamond, \rho : \rho^2 = \clubsuit^2 = \diamond^2 = (\clubsuit \diamond)^3 = (\clubsuit \rho)^2 = (\diamond \rho)^2 = 1 >$$

$\rho = e \bullet$, $e = \text{involução de Schützenberger}.$

References

- O. Azenhas, A. Conflitti, R. Mamede, *Linear time equivalent Littlewood-Richardson coefficient maps*, Discrete Mathematics & Theoretical Computer Science Proceedings, AK, (2009) 127–144.
- Georgia Benkart, Frank Sottile, Jeffrey Stroomer. *Tableau switching: algorithms and applications*, J. Combin. Theory Ser. A 76 (1996), 11–34.
- A.P. Hillman and R.M. Grassl, *Skew-tableaux and the insertion algorithms*, J. Combin. Inform. System Sci. 5 (1980), 305–316.
- S. Kerov, *The Robinson - Schensted - Knuth correspondence and the Littlewood - Richardson rule*, Communications of the Moscow Mathematical Society, 1984
- D.E. Knuth, *Permutations, matrices, and generalized Young tableaux*, Pacific. J. Math. 34 (1980), 709–727.
- A. Knutson, T. Tao and C. Woodward. *The honeycomb model of $GL_n(\mathbb{C})$ tensor products. II: Puzzles determine facets of the Littlewood–Richardson cone*, J. Amer. Math. Soc. 17 (2004), 19–48.
- Dudley E. Littlewood, Archibald R. Richardson. *Group characters and algebra*, Philos. Trans. Roy. Soc. London Ser. A 233 (1934), 99–142.

References

- I. Pak, E. Vallejo, *Combinatorics and geometry of Littlewood-Richardson cones*, Europ. J. Comb., (2005), 995–1008.
- I. Pak, E. Vallejo, *Reductions of Young tableau bijections*, SIAM J. Discrete Math., 24 (2010), no. 1, 113–145.
- Kevin Purbhoo. *Puzzles, tableaux, and mosaics*, J. Algebraic Combin., 28 (2008), 461–480.
- M. P. Schützenberger, *La Correspondence de Robinson*, in Combinatoire et Représentation du Groupe Symétrique. Lecture Notes in Mathematics, vol. 579, pp. 59-113. Springer, Berlin (1977).
- D.E. White, *Some connections between the Littlewood-Richardson rule and the construction of Schensted*, J. Combin. Theory Ser. A 30 (1981), 237–247.